

一种简单的基性-超基性岩岩石化学研究方法

张 魏 华 从 柏 林

(中国科学院地质研究所)

基性-超基性岩组合形成与地质构造环境密切相关。不同类型的基性-超基性岩组合的岩石化学特征有其相似之处，但也明显地有其差异即各个组合类型的特殊性。目前，国内外研究岩石化学的计算方法很多，但方法复杂，步骤繁多，甚为费时。

本文的目的，试图采用简便的岩石化学

研究方法，确定自然界中各种组合类型基性-超基性岩化学上的特殊性。

计算原理和作图方法

在基性-超基性岩中反映岩石化学特征的主要造岩元素是 Si、Al、Fe、Mg、Ca、K 和 Na。本方法表示岩石中上述主要元素之间的

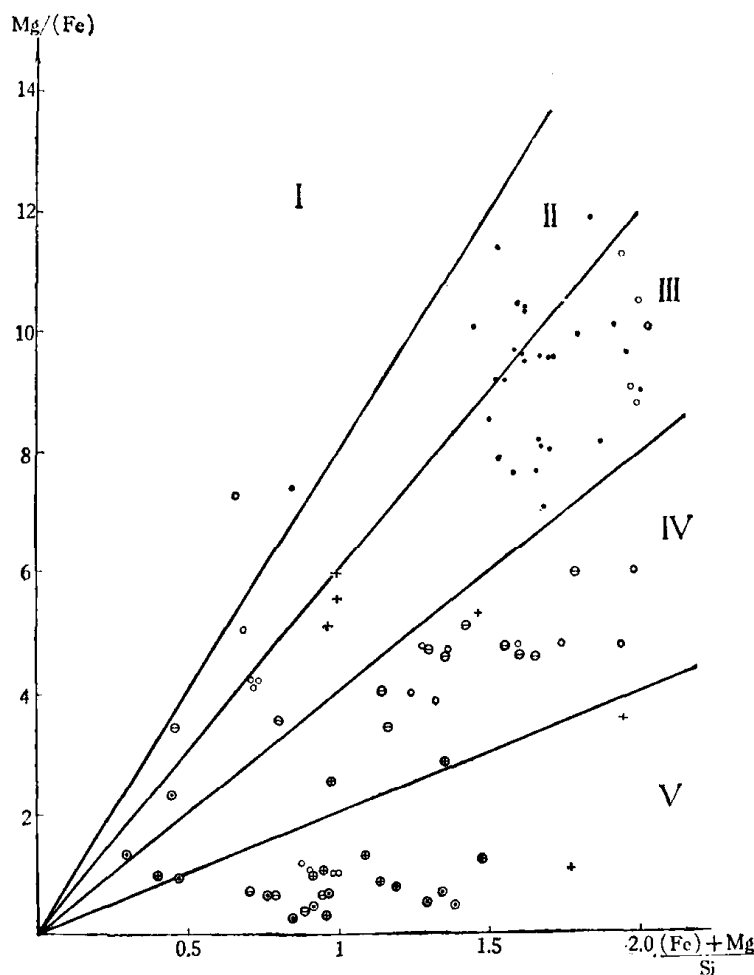


图 1 不同组合类型基性-超基性岩的 $Mg/(Fe)$ 与 $(Fe) + Mg/Si$ 的变异图
● 阿尔卑斯型； ○ 阿拉斯加型； + 层状或似层状组合类型； □ 分异良好的岩床
(墙、盖)及小侵入体中的组合类型； ◉ 环状碱性杂岩中的组合类型； + 布尔什维德岩体

本文 1975 年 6 月 27 日收到。

相互关系,说明基性-超基性岩岩石化学特殊性。

1. 镁铁比值 ($Mg/\langle Fe \rangle$) 与基性度 ($Mg + \langle Fe \rangle/Si$) 变异图(图 1)

本图纵坐标为 $Mg/\langle Fe \rangle$, 横坐标为 $Mg + \langle Fe \rangle/Si$, 纵横坐标之比为 5:1。镁铁比值是指岩石中镁原子数对全铁原子数的比值。基性度是指岩石中镁原子数及全铁原子数之和对硅原子数的比值, 基性度反映了岩石中镁铁组分的相对含量以及 SiO_2 的饱和程度。通常, 岩石中的镁铁比值随基性度变异而变异。因此, 表示岩石的镁铁组分之间的相对关系时, 必须同时考虑到岩石的基性度。在图上还作出了斜率相当于 $Mg/\langle Fe \rangle : Mg + \langle Fe \rangle/Si$ 分别为 8:1, 6:1, 4:1 及 2:1 的四条直线, 划分五个区: I—超镁质区; II—镁质区; III—镁铁质区; IV—铁镁质区; V—铁质区。

2. $(Na_2O + K_2O)$ 与 SiO_2 变异图(图 2)

该图采用岩石中 $(Na_2O + K_2O)$ 重量百分数为纵坐标, SiO_2 重量百分数为横坐标(以 30% 的 SiO_2 为起点)。纵横坐标之比为 1:2。图上还作出了斜率相当于 $(Na_2O + K_2O) : SiO_2$

分别为 1:5, 1:10 及 1:20 的三条直线, 将图划分为四个区: I—强碱质区; II—碱质区; III—弱碱质区; IV—贫碱质区。

3. Al_2O_3 与 SiO_2 变异图(图 3)

本图采用岩石中 Al_2O_3 重量百分数为纵坐标和 SiO_2 重量百分数为横坐标(以 30% 的 SiO_2 为起点)。纵横坐标之比为 1:1。在此图上作出斜率相当于 $Al_2O_3 : SiO_2$ 分别为 1:1, 3:5, 1:5 的三条直线, 将全图划分为四个区: I—高铝质区; II—铝质区; III—低铝质区; IV—贫铝质区。

4. F-M-C 图解(图 4)

本图是将岩石中镁、全铁及钙的重量百分数换算成三者的原子数百分比数后, 在以 F(全铁)、M(镁) 及 C(钙) 为正三角形顶端的图上投影而作出的。它反映了岩石中 $\langle Fe \rangle$ 、 Mg 、 Ca 之间的关系。为便于对比分析, 该图可划分以下几个区:

Mg—镁质区 ($Mg_{100} Fe_{15}, Ca_{15}$);

Fe—铁质区 ($Fe_{100} Mg_{15}, Ca_{15}$);

Ca—钙质区 ($Ca_{100} Mg_{15}, Fe_{15}$);

I—贫钙质区 / Ia 贫钙的镁铁质区,
Ib 贫钙的铁镁质区;

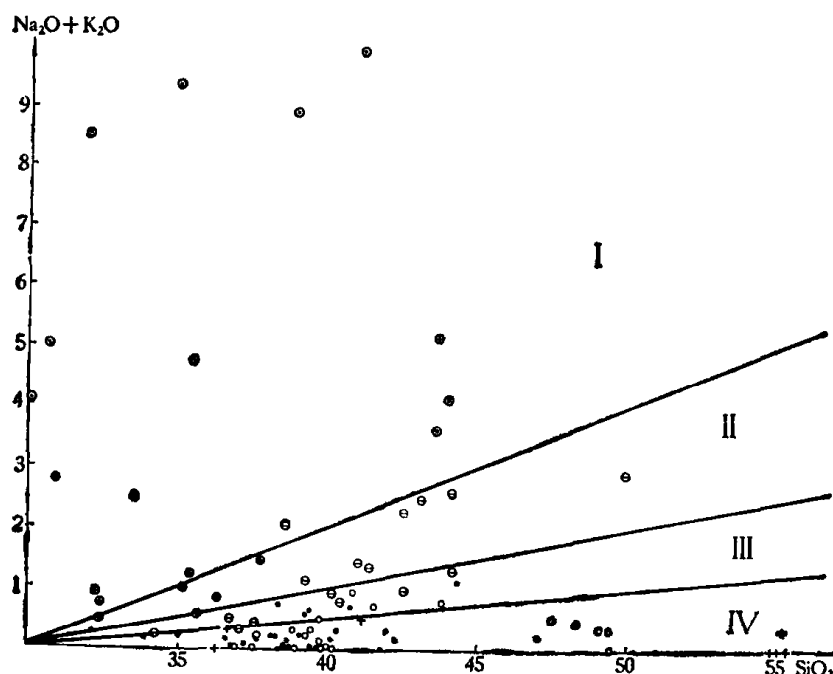


图 2 不同组合类型基性-超基性岩的 $(Na_2O + K_2O)$ 与 SiO_2 变异图
(图例同图 1)

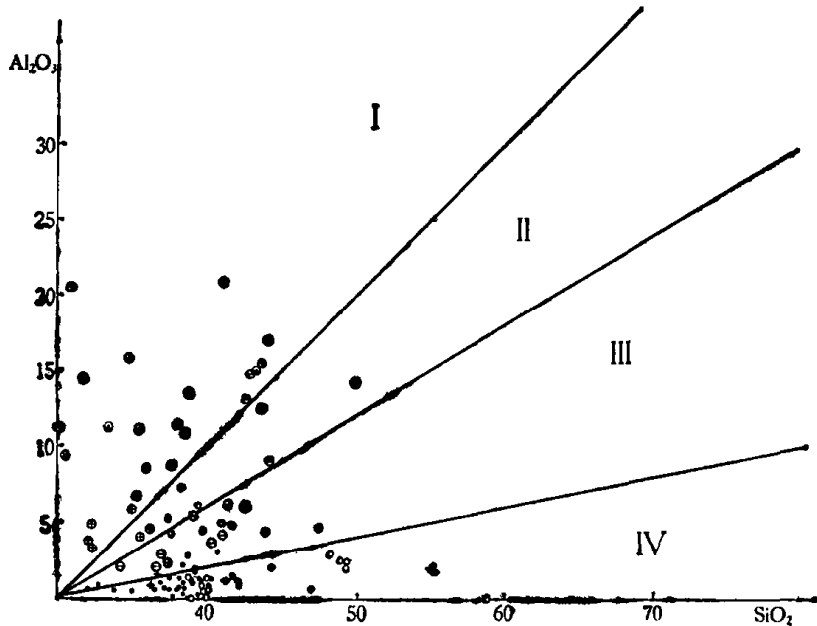


图3 不同组合类型基性-超基性岩的 Al_2O_3 与 SiO_2 变异图
(图例同图1)

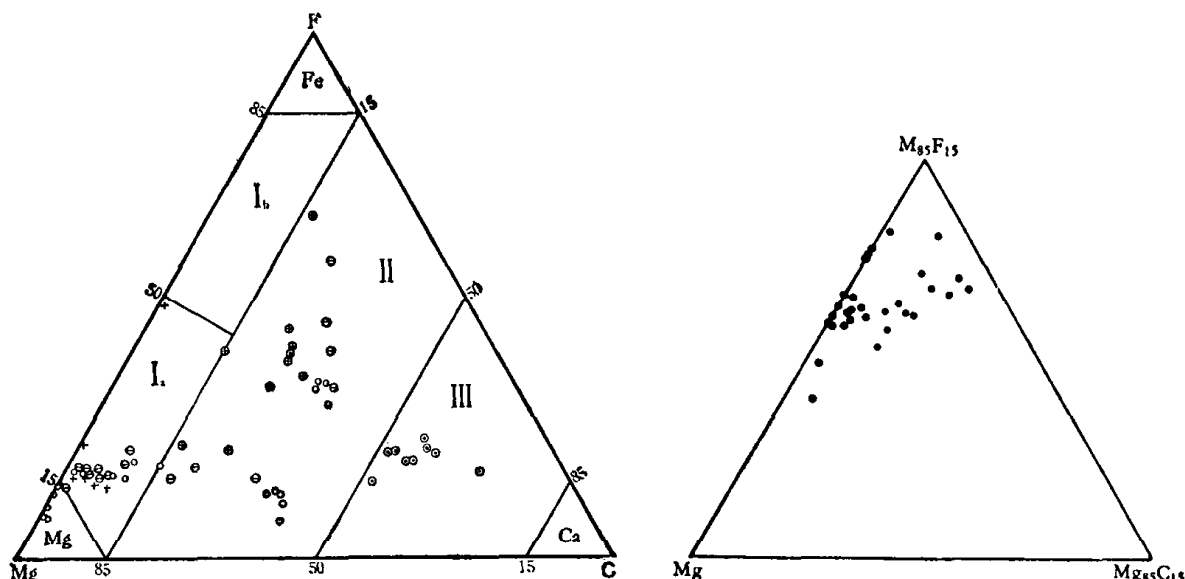


图4 不同组合类型基性-超基性岩的 F-M-C 图解
(图例同图1)

II——低钙质区；

III——适度钙质区。

图解的判读

关于超基性岩及有关岩石的成因争论很大，但对其母源物质来自上地幔已被绝大多数研究者所确认。因此，这类岩石的时空分布、共生组合类型及岩石化学特征主要受深断裂的深度、规模和活动性质所控制。我们

根据我国基性-超基性岩的时空分布规律，结合块断构造概念，将我国基性-超基性岩划分为以下几种组合类型。

1. 阿尔卑斯型蛇纹岩-橄榄岩组合类型。

它们产于线形的强烈形变的断褶中，往往与断块缝合线共生。其组分变化不大，矿物中以富镁的橄榄石和辉石为主，往往有铬尖晶石的富集。普遍地遭受强烈的形变，一般无高温接触变质带。为具有工业价值的、质量

较高的铬铁矿矿床的母岩。

2. 阿拉斯加型同心带状纯橄榄岩-橄榄岩-辉石岩组合类型。主要产于造山带（现代为岛弧）中安山质火山杂岩的根部，未受侵入后的构造作用影响。矿物组分中含有原生相磁铁矿及富钙的辉石。为小型的铬铁矿矿床的母岩。

3. 层状或似层状的辉长岩-苏长岩-橄榄岩组合类型。其最重要的特点是矿物组合具韵律性的变异，以及在超基性岩石中含有不定量的斜长石。它们大多数侵位于地堑型的裂谷带中，普遍地保持了未受形变作用的特点。在世界上，它们中往往发育大型的铬铁矿矿床。在我国则富铁质和碱质，往往形成钒钛磁铁矿床。

4. 分异良好的岩床（墙、盖）和较小的侵入体中的基性-超基性岩组合类型。此类岩体除受深断裂控制外，无确切的构造位置，既可以沿断裂产于同构造期的断拗中，也可以沿断裂产于不同时代的褶皱基底上。它们又可分为两个亚类：在分异较好的以超基性岩为主的亚类中，常形成铜、镍和铂族元素的矿化或矿床；在分异较差的以基性岩为主的亚类中，往往形成具有工业价值的钒钛磁铁矿床。

5. 环状碱性杂岩中的基性-超基性岩组合类型。空间上它们常与火成的碳酸盐岩及榴辉岩共生，产于稳定断块边部具有裂谷性质的深断裂中。

为便于对比，除选用国内代表性岩体及岩带的资料外，还收集了世界上一些典型地区的岩体、岩带（如南罗得西亚、布尔什维德、乌拉尔、阿拉斯加、加拿大、土耳其等）资料。

采用本文提出的方法将上述五种组合类型的基性-超基性岩代表岩体（带）的化学成分作图后，它们化学上的主要区别在于：

1. “阿尔卑斯型”岩石组合的投影点，在图 1 和图 4 中均落在镁质和镁铁质区中， $Mg/\langle Fe \rangle$ 高、基性度高且变化范围小，在图 2

和图 3，均落在 III 和 IV 区。总之，此类型以富镁，贫钙，铝，碱质，基性度高为特征，是主要的铬矿工业类型。

2. 阿拉斯加型岩石组合：投影在图 1 的各区尤集中在 III 和 IV 区中，基性度变化范围大，在图 2 和图 3 上投影于 III 和 IV 区中，在图 4 分布在低钙、贫钙的镁铁质区中。说明该类岩石为镁质和镁铁质，贫铝，碱质，低钙，具有分异作用的特点，是小型的铬矿工业类型。

3. 层状或似层状岩石组合。国内的此类岩体投影在图 1 的 IV 和 V 区，基性度较低，在图 2 和图 3 的 I 和 II 区及图 4 的 IV 区中；国外的布什维尔德岩体则反映出分异良好的现象，在图 1 的 II 至 V 区均有，基性度较高，图 2 和图 3 均落在 IV 区，图 4 落在 Ia 区。虽然这两类岩石在产状上极为相似，但在化学上具有显著的差异，前者以铁质、高铝、富碱和稍高的钙为特征；后者属于镁铁-铁镁质，贫铝、钙、碱质岩类。反映在成矿专属性上也截然不同，前者以产钒钛磁铁矿为主，后者则是大型的铬铁矿产地。

4. 呈分异良好的岩床（墙、盖）和小侵入体的岩石组合。在图 1 它们的投影点散布在各区，其中分异良好的超基性岩多集中在 IV 区，分异较差的基性岩多集中在 V 区；在图 2 分布在 II 和 III 区，在图 3 除 IV 区外均有分布，在图 4 中分异良好的超基性岩落在 Ia 和 II 的下部，分异较差的基性岩则在 II 区的上部。此两亚类的岩石各有特点，其中分异良好的超基性岩亚类为镁铁质、低铝、碱质和低钙（或贫钙）；分异程度差的基性岩亚类以铁质、高铝、碱质和低钙为特征。前者以铜、镍、铂族元素矿化或矿床为主，后者以钒钛磁铁矿为主。

5. 环状碱性杂岩中基性-超基性岩组合类型，是以铁质、高铝、高碱和较高钙含量为特征，明显地区别于其它四种类型。

最后，我们认为：

第一，自然界中基性-超基性岩总是以一定的共生组合呈群或带产出。它们一方面都来自上地幔物质，这就决定了它们在化学上的普遍性；另一方面，上地幔物质是不均匀的，形成不同组合类型的地质构造环境也不相同，这就决定了它们在化学上的差异即特殊性。“**科学的研究的区分，就是根据科学对象所具有的特殊的矛盾性。**”一种合理的基性-超基性岩岩石化学研究方法，就应该将着眼点放在研究各种组合类型（但这种组合类型是各种岩石规律的组合，而不是个别岩石）在化学上的特殊性。自然，由于各组合类型在化学上的普遍性，从而在本文图中出现一些交叉现象，这也是符合客观规律的。

第二，“**世界上的事情是复杂的，是由各方面的因素决定的。看问题要从各方面去看，不能只从单方面看。**”基性-超基性岩组合类

型，不仅在化学上有特殊性，而且在矿物学、地质构造、岩体构造上都有各自的特点。因此，要确切地区别基性岩-超基性岩组合类型，就应考虑上述诸因素以及相互间的联系。

参 考 资 料

- [1] A. H. 扎瓦里茨基, 火成岩岩石学导论, 1962, 科学出版社.
- [2] C. Д. 契特维里科夫, 岩石化学换算指南, 1963, 中国工业出版社.
- [3] 吴利仁, 地质科学, 1963, 1, 24—41.
- [4] 中国科学院地质研究所大地构造编图组, 地质科学, 1974, 1, 1—18.
- [5] 王恒升, 白文吉, 地质学报, 1975, 1, 77—91.
- [6] Wyllie, P. J. (Editor), *Ultramafic and Related Rocks*, Wiley, New York, 1967.
- [7] Wyllie, P. J. *The Dynamic Earth: Textbook in Geosciences*. John Wiley & Sons Inc., 1971.
- [8] Moores E. M., *Earth Science Reviews*, 9 (1973) 3, 241—298.